

Escola Politécnica da Universidade de São Paulo

Análise matricial de estruturas não-lineares usando o Método de Newton

Exercício Computacional - MAP3121

Professor: Claudio Hirofume Asano
Turma 5

Danilo Akira Matsuyoshi 9267196

Felipe Sung Hyon Kim 9837094

Maio de 2018

São Paulo - SP

Sumário

1. Introdução.....	3
2. Funções criadas.....	3
3. Primeiro problema.....	4
4. Segundo problema.....	8
5. Testes iniciais.....	11
6. Conclusões.....	14

1. Introdução

Para esse primeiro exercício programável, foi utilizado o método de Newton, que através de um sistema de matrizes, itera-se afim de aproximarmos da solução real do problema, podendo haver um erro mensurável da solução obtida com a solução real. Inicialmente, nos problemas de 1 a 2, foi solucionado duas diferentes estruturas, que geraram sistemas, os quais eram lineares ou não. Foi aplicado o método de Newton para obtenção dos deslocamentos das barras, bem como suas tensões e normais, e também as reações de apoio. Em Testes Iniciais, foram testadas as funções criadas, calculando os pontos de uma função onde o gradiente se anula e obtendo a solução de sistemas não lineares de dimensões variáveis.

2. Funções criadas:

a) Main

Para o usuário, foi criado uma caixa de texto com opções para os problemas de 1 a 3, bem como as opções para obtenção dos gráficos. Deixando o usuário escolher por qual problema ele irá analisar. Na construção dessa função, foram criadas condições de acordo com o número do problema. Através das matrizes jacobiana, matriz de rigidez, combinando-se com as funções LU e Sistemalinear, foram determinados os deslocamentos de cada barra da estrutura nos problemas 1 e 2. Da mesma forma, foram utilizadas ambas funções para a realização dos testes iniciais, afim de obtermos o ponto onde o gradiente se anulava, e as soluções dos sistemas lineares e não lineares de dimensão variável. Para os problemas, foi utilizado um erro de 10^{-6} para encerrar o looping de iterações.

b) LU

Recebe matriz A e a decompõe em LU.
É criada a matriz permutação, matriz L e matriz U.
Foi seguido o algoritmo do roteiro disponibilizado pela disciplina.
Tem como saída as matrizes L, U e p.

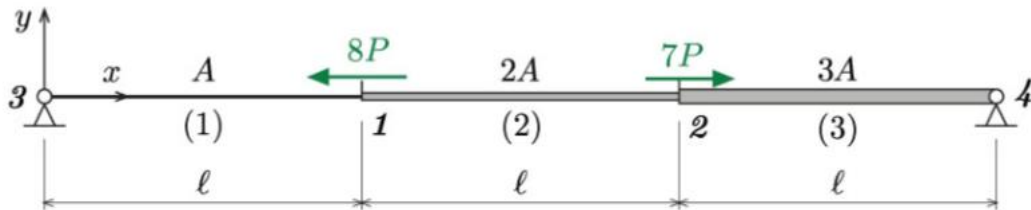
c) Sistemalinear

Calcula $Ly=B$ e depois $Ux=y$.
Tem como entrada L, U, p, B.
Primeiro permuta-se B através da matriz de permutação p, a matriz y é criada e temos o algoritmo propriamente da resolução do sistema linear já escalonado ($Ly=B$). Analogamente para o caso $Ux=y$.

3. Primeiro problema

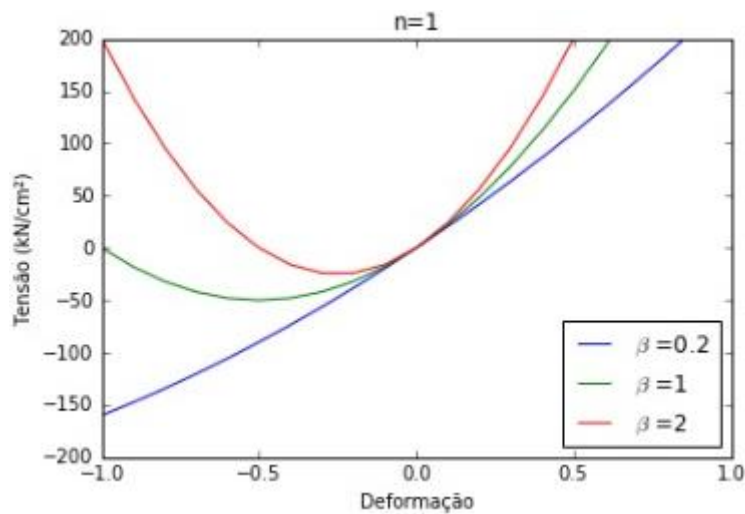
Tarefas computacionais

Segundo os dados do problema: $A = 0.5 \text{ cm}^2$, $E_{10} = E_{20} = E_{30} = E = 200.0 \text{ kN cm}^2$, $P = 5.0 \text{ kN}$, $l = 50.0 \text{ cm}$, $n=1$. Foi computacionado a resolução da estrutura apresentada na figura a seguir.

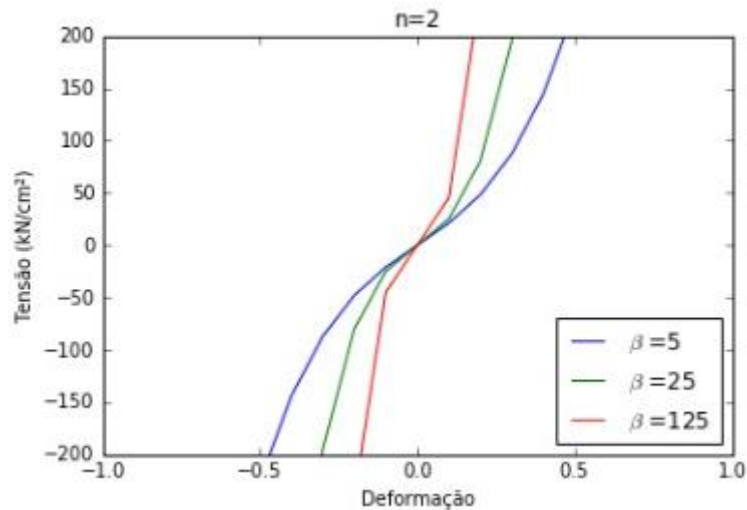


Foi utilizado um erro de 10^{-6} para encerrar o looping de iterações.

1. Para $n = 1$, foram traçadas as curvas tensão-deformação (1) para $m = 1$ e $\beta = 0.2$, $\beta = 1$ e $\beta = 2$ no gráfico a seguir:



Para $n = 2$, foram traçadas as curvas tensão-deformação (1) para $m = 1$ e $\beta = 5$, $\beta = 25$ e $\beta = 125$ no gráfico a seguir:



2. Começando com $u^0 = (0,0)$, foi implementada a iteração do método de Newton.

Primeiro teste: $\beta = 0$ (caso linear)

Foram calculadas as reações de apoio $R_3, R_4, N_m^{(k)}, \epsilon_m(d), \sigma_m(t)$; $m=1, 2, 3$.

Os deslocamentos são dados em cm. As reações de apoio e as forças normais, são dadas em kN.

As tensões (t) são dadas em kN/cm².

beta= 0

n= 1

	u1	u2	R3	R4	N1	N2	N3
1	-5.909	1.136	11.818	-6.818	-11.818	28.182	-6.818
	d1	d2	d3	t1	t2	t3	
	-0.118	0.141	-0.023	-23.636	28.182	-4.545	

3. A seguir, foi resolvido o sistema não-linear pelo método de Newton para $n = 1$ e $\beta = 0.2$. Em cada iteração (k) do método de Newton, foram calculados os deslocamentos $u^{(k)}_1, u^{(k)}_2$, as forças normais $N^{(k)}_m$, $m = 1, 2, 3$, e o resíduo $R_{(k)} := |\Phi(u^{(k)}) - F|$. Foram calculadas também as reações de apoio $R_3, R_4, N_m^{(k)}, \epsilon_m(d), \sigma_m(t)$; $m=1, 2, 3$.

Os deslocamentos são dados em cm. As reações de apoio e as forças normais são dadas em kN.

As tensões (t) são dadas em kN/cm².

beta= 0.2

n= 1

	u1	u2	N1	N2	N3	Resíduo
1	-5.909	1.136	-11.539	28.976	-6.787	[[0.51], [0.76]]
2	-5.864	1.080	-11.453	28.547	-6.453	[[0.0], [0.0]]

R3	R4	d1	d2	d3	t1	t2	t3
11.453	-6.453	-0.117	0.139	-0.022	-22.905	28.547	-4.302

A seguir, verificamos que a matriz $D\Phi(u^{(k)})$ é simétrica:

Coluna 1:

$$\begin{pmatrix} -\frac{2AE_{20}}{l} \left(1 + \beta(n+1) \left(\frac{u_2 - u_1}{l}\right)^n\right) - \frac{AE_{10}}{l} \left(1 + \beta(n+1) \left(\frac{u_1}{l}\right)^n\right) \\ \frac{2AE_{20}}{l} \left(1 + \beta(n+1) \left(\frac{u_2 - u_1}{l}\right)^n\right) \end{pmatrix}$$

Coluna 2:

$$\begin{pmatrix} \frac{2AE_{20}}{l} \left(1 + \beta(n+1) \left(\frac{u_2 - u_1}{l}\right)^n\right) \\ -\frac{3AE_{30}}{l} \left(1 + \beta(n+1) \left(\frac{-u_2}{l}\right)^n\right) - \frac{2AE_{20}}{l} \left(1 + \beta(n+1) \left(\frac{u_2 - u_1}{l}\right)^n\right) \end{pmatrix}$$

4. A seguir, foi resolvido o sistema não-linear pelo método de Newton para $n = 1$ e $\beta = 1$. Em cada iteração (k) do método de Newton, foram calculados os deslocamentos $u^{(k)}_1$, $u^{(k)}_2$, as forças normais $N^{(k)}_m$, $m = 1, 2, 3$, e o resíduo $R_{(k)} := |\Phi(u^{(k)}) - F|$.

Foram calculadas também as reações de apoio R_3 , R_4 , $N_m^{(k)}$, $\varepsilon_m(d)$, $\sigma_m(t)$; $m=1, 2, 3$.

Os deslocamentos são dados em cm. As reações de apoio e as forças normais são dadas em kN.

As tensões (t) são dadas em kN/cm^2 .

beta= 1

n= 1

	u1	u2	N1	N2	N3	Resíduo
1	-5.909	1.136	-10.421	32.153	-6.663	[[2.57], [3.82]]
2	-5.727	0.871	-10.142	29.873	-5.135	[[0.01], [0.01]]
3	-5.724	0.871	-10.138	29.862	-5.138	[[0.0], [0.0]]

R3	R4	d1	d2	d3	t1	t2	t3
10.138	-5.138	-0.114	0.132	-0.017	-20.275	29.862	-3.425

O mesmo para $\beta = 2$:

beta= 2

n= 1

	u1	u2	N1	N2	N3	Resíduo		
1	-5.909	1.136	-9.025	36.124	-6.508	[[5.15], [7.63]]		
2	-5.639	0.629	-8.734	31.357	-3.678	[[0.09], [0.03]]		
3	-5.621	0.635	-8.714	31.286	-3.714	[[0.0], [0.0]]		
R3	R4	d1	d2	d3	t1	t2	t3	
8.714	-3.714	-0.112	0.125	-0.013	-17.428	31.286	-2.476	

5. Executando a mesma tarefa dos 2 itens anteriores, porém, agora com expoente de não linearidade para: $n = 2$ e os valores $\beta = 5$, $\beta = 25$ e $\beta = 125$. Os deslocamentos são dados em cm. As reações de apoio e as forças normais são dadas em kN. As tensões (t) são dadas em kN/cm².

beta= 5

n= 2

	u1	u2	N1	N2	N3	Resíduo		
1	-5.909	1.136	-12.644	30.980	-6.836	[[3.62], [2.82]]		
2	-5.463	1.092	-11.579	28.474	-6.566	[[0.05], [0.04]]		
3	-5.457	1.091	-11.563	28.437	-6.563	[[0.0], [0.0]]		
R3	R4	d1	d2	d3	t1	t2	t3	
11.563	-6.563	-0.109	0.131	-0.022	-23.126	28.437	-4.375	

beta= 25

n= 2

	u1	u2	N1	N2	N3	Resíduo		
1	-5.909	1.136	-15.945	42.171	-6.906	[[18.12], [14.08]]		
2	-4.716	1.001	-11.530	30.339	-6.063	[[1.87], [1.4]]		
3	-4.557	0.990	-11.007	29.019	-6.000	[[0.03], [0.02]]		
4	-4.555	0.990	-11.000	29.000	-6.000	[[0.0], [0.0]]		
R3	R4	d1	d2	d3	t1	t2	t3	
11.000	-6.000	-0.091	0.111	-0.020	-21.999	29.000	-4.000	

beta= 125

n= 2

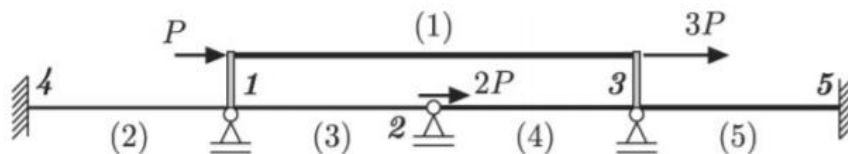
	u1	u2	N1	N2	N3	Resíduo
1	-5.909	1.136	-32.451	98.127	-7.258	[[90.58], [70.39]]
2	-4.141	0.876	-15.383	45.327	-5.459	[[20.71], [15.79]]
3	-3.396	0.816	-10.706	31.790	-5.060	[[2.5], [1.85]]
4	-3.274	0.813	-10.055	29.999	-5.040	[[0.05], [0.04]]
5	-3.271	0.813	-10.041	29.959	-5.041	[[0.0], [0.0]]

R3	R4	d1	d2	d3	t1	t2	t3
10.041	-5.041	-0.065	0.082	-0.016	-20.081	29.959	-3.360

Comparando os resultados para $n=1$ e $n=2$, percebe-se que há semelhança no comportamento dos deslocamentos, reações, deformações e tensões quando há um aumento no valor de beta. Nota-se que, para $n=1$, conforme se aumenta o valor de beta, o deslocamento u_2 vai diminuindo. Mas, aumentando beta de 2 para 5 e n de 1 para 2, há um aumento no deslocamento u_2 .

3. Segundo problema

Considerando que para a estrutura a seguir, a (m) -ésima barra tem a área mA ; $m = 1, 2, 3, 4, 5$. A barra (1) tem o comprimento $2l$, enquanto o comprimento das outras barras é l . Os graus de liberdade 4 e 5 são bloqueados, enquanto os graus de liberdade 1, 2, 3 são livres. Usamos os dados seguintes: $A = 0.1 \text{ cm}^2$, $l = 20.0 \text{ cm}$, $P = 2.0 \text{ kN}$, e $E_{m0} = E = 200.0 \text{ kN cm}^2$ para $m = 1, \dots, 5$.



Foi utilizado um erro de 10^{-6} para encerrar o looping de iterações.

Tarefas computacionais

- Foram efetuadas as mesmas tarefas que as tarefas 2-5 do primeiro problema para os dois casos seguintes: $n = 1$, $\beta = 3$; e $n = 2$, $\beta = 125$. Temos agora $m = 1, \dots, 5$, e três deslocamentos $u^{(k)}_1$, $u^{(k)}_2$, $u^{(k)}_3$ que não são zeros, então os vetores $\Phi(u)$ e F têm três entradas, e a matriz de rigidez $D\Phi(u^{(k)})$ é uma matriz 3×3 .

Os deslocamentos são dados em cm. As reações de apoio e as forças normais são dadas em kN. As tensões (t) são dadas em kN/cm^2 .

Para $n = 1, \beta = 3$

beta= 3

n= 1

	u1	u2	u3	N1	N2	N3	N4	N5	Resíduo					
1	1.770	2.297	1.692	-0.039	4.481	1.705	-2.201	-6.313	[[0.815], [0.095], [1.927]]					
2	1.808	2.545	2.135	0.167	4.597	2.456	-1.541	-7.256	[[0.026], [0.003], [0.118]]					
3	1.831	2.578	2.177	0.177	4.669	2.491	-1.509	-7.330	[[0.0], [0.0], [0.001]]					
4	1.831	2.578	2.177	0.177	4.669	2.492	-1.508	-7.331	[[0.0], [0.0], [0.0]]					
R4	R5	d1	d2	d3	d4	d5	t1	t2	t3	t4	t5			
-4.669	-7.331	0.009	0.092	0.037	-0.020	-0.109	1.774	23.346	8.306	-3.770	-14.662			

Para $n = 2, \beta = 125$

beta= 125

n= 2

	u1	u2	u3	N1	N2	N3	N4	N5	Resíduo					
1	1.770	2.297	1.692	-0.039	7.008	1.717	-2.697	-16.026	[[3.331], [0.414], [7.29]]					
2	1.334	1.829	1.279	-0.027	4.151	1.600	-2.408	-9.669	[[0.579], [0.008], [1.233]]					
3	1.228	1.727	1.180	-0.024	3.614	1.611	-2.389	-8.470	[[0.027], [0.0], [0.057]]					
4	1.223	1.721	1.175	-0.024	3.588	1.612	-2.388	-8.412	[[0.0], [0.0], [0.0]]					
R4	R5	d1	d2	d3	d4	d5	t1	t2	t3	t4	t5			
-3.588	-8.412	-0.001	0.061	0.025	-0.027	-0.059	-0.238	17.941	5.373	-5.970	-16.824			

A seguir é verificado que a matriz de rigidez $D\Phi(u^{(k)})$ é simétrica:

Coluna 1:

$$\begin{pmatrix} -\frac{3AE_{30}}{l}\left(1 + \beta(n+1)\left(\frac{u_2 - u_1}{l}\right)^n\right) - \frac{AE_{10}}{2l}\left(1 + \beta(n+1)\left(\frac{u_3 - u_1}{2l}\right)^n\right) - \frac{2AE_{20}}{l}\left(1 + \beta(n+1)\left(\frac{u_1}{l}\right)^n\right) \\ \frac{3AE_{30}}{l}\left(1 + \beta(n+1)\left(\frac{u_2 - u_1}{l}\right)^n\right) \\ \frac{AE_{10}}{2l}\left(1 + \beta(n+1)\left(\frac{u_3 - u_1}{2l}\right)^n\right) \end{pmatrix}$$

Coluna 2:

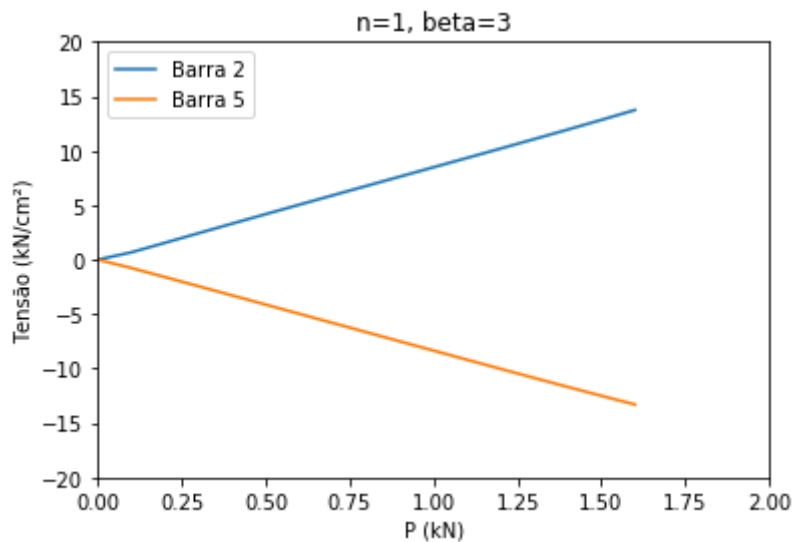
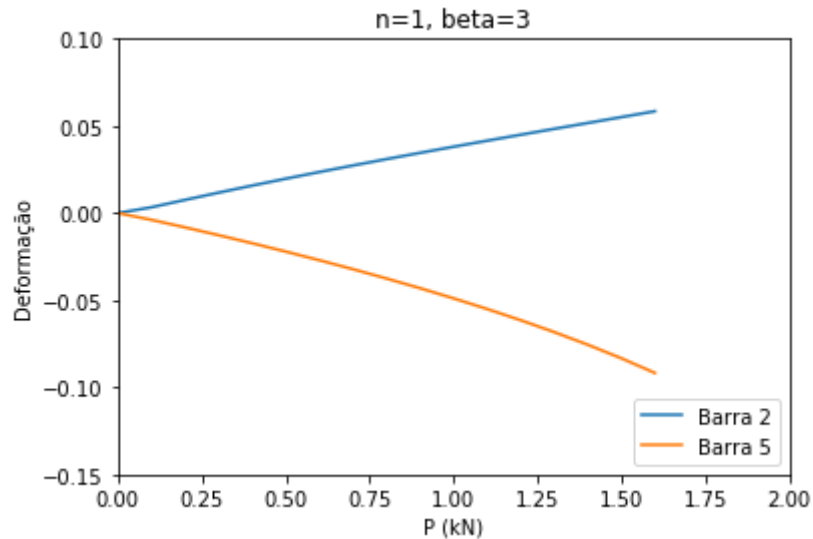
$$\begin{pmatrix} \frac{3AE_{30}}{l}\left(1 + \beta(n+1)\left(\frac{u_2 - u_1}{l}\right)^n\right) \\ -\frac{4AE_{40}}{l}\left(1 + \beta(n+1)\left(\frac{u_3 - u_2}{l}\right)^n\right) - \frac{3AE_{30}}{l}\left(1 + \beta(n+1)\left(\frac{u_2 - u_1}{l}\right)^n\right) \\ \frac{4AE_{40}}{l}\left(1 + \beta(n+1)\left(\frac{u_3 - u_2}{l}\right)^n\right) \end{pmatrix}$$

Coluna 3:

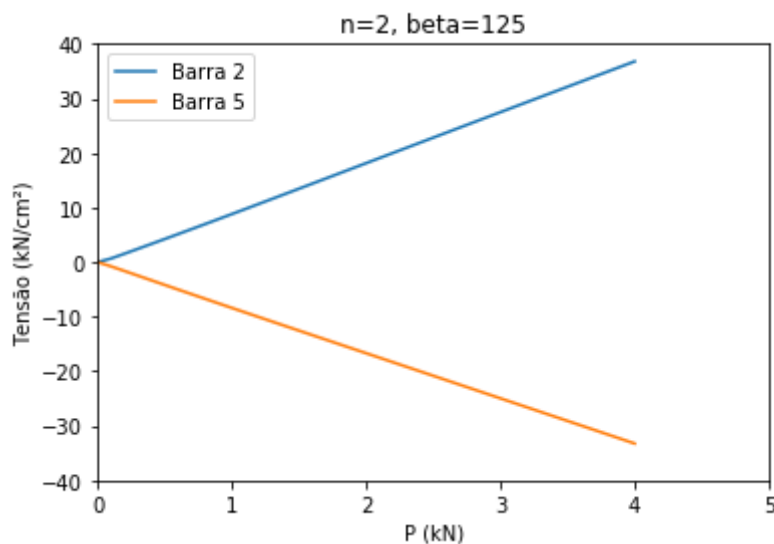
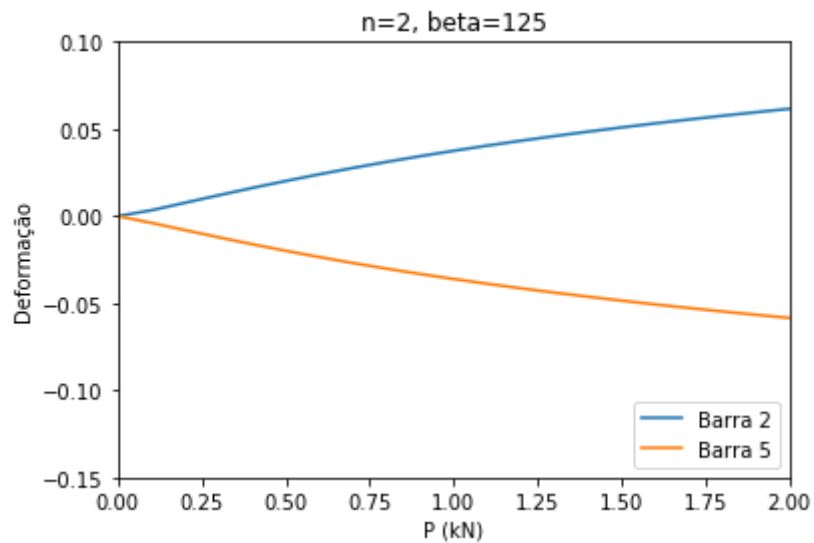
$$\begin{pmatrix} \frac{AE_{10}}{2l}\left(1 + \beta(n+1)\left(\frac{u_3 - u_1}{2l}\right)^n\right) \\ \frac{4AE_{40}}{l}\left(1 + \beta(n+1)\left(\frac{u_3 - u_2}{l}\right)^n\right) \\ -\frac{5AE_{50}}{l}\left(1 + \beta(n+1)\left(\frac{-u_3}{l}\right)^n\right) - \frac{AE_{10}}{2l}\left(1 + \beta(n+1)\left(\frac{u_3 - u_1}{2l}\right)^n\right) - \frac{4AE_{40}}{l}\left(1 + \beta(n+1)\left(\frac{u_3 - u_2}{l}\right)^n\right) \end{pmatrix}$$

2. Foram traçados os gráficos das curvas das tensões e das deformações em função da carga P , nas barras com as maiores tensões de tração e de compressão, correspondendo aos maiores alongamentos e encurtamentos. Os gráficos foram traçados apenas para os dois casos seguintes: $n = 1, \beta = 5$ (para $P = 0, \dots, 1.6 \text{ kN}$); e $n = 2, \beta = 125$ (para $P = 0, \dots, 4.0 \text{ kN}$).

$n = 1, \beta = 5$ (para $P = 0, \dots, 1.6 \text{ kN}$)



$n = 2$, $\beta = 125$ (para $P = 0, \dots, 4.0$ kN)



4. Testes iniciais

Testes iniciais

- Usando o código desenvolvido para determinar o ponto de mínimo da função $F(x, y) = (x - 2)^2 + (y - 3)^2$,
Ponto de mínimo:

Onde o seu gradiente se anula ou para esse caso,

O ponto de mínimo da função $F(x, y) = (x-2)^2 + (y-3)^2$ é:

$$(x, y) = (2.00, 3.00)$$

Número de iterações do método de Newton necessárias para convergência: 2

- Dada a função $F(x_1, x_2, x_3, x_4) = (4x_1 - x_2 + x_3 - x_1x_4, -x_1 + 3x_2 - 2x_3 - x_2x_4, x_1 - 2x_2 + 3x_3 - x_3x_4, x_1^2 + x_2^2 + x_3^2 - 1)$, a raiz que se obtém pelo método de Newton tomando $x = (1, 1, 1, 1)$ como valor inicial é:

$$x_1 = 0.00, \quad x_2 = 0.71, \quad x_3 = 0.71, \quad x_4 = 1.00$$

- O método de Newton foi utilizado para determinar a solução do sistema $n - 1 \times n - 1$, cujas equações são $-x_{i-1} + 2x_i - x_{i+1} = e^{x_i}/n^2$, $i = 1, 2, \dots, n-1$.
Com $x_0 = x_n = 0$, a partir da aproximação inicial nula.

Para $n=20$

n = 20
$x_1 = 0.026060$
$x_2 = 0.049555$
$x_3 = 0.070426$
$x_4 = 0.088621$
$x_5 = 0.104094$
$x_6 = 0.116807$
$x_7 = 0.126728$
$x_8 = 0.133832$
$x_9 = 0.138102$

$x_{10} = 0.139526$
$x_{11} = 0.138102$
$x_{12} = 0.133832$
$x_{13} = 0.126728$
$x_{14} = 0.116807$
$x_{15} = 0.104094$
$x_{16} = 0.088621$
$x_{17} = 0.070426$
$x_{18} = 0.049555$
$x_{19} = 0.026060$

Para $n=40$

n = 40
$x_1 = 0.013344$
$x_2 = 0.026055$
$x_3 = 0.038125$
$x_4 = 0.049546$
$x_5 = 0.060311$
$x_6 = 0.070414$
$x_7 = 0.079847$
$x_8 = 0.088605$
$x_9 = 0.096683$
$x_{10} = 0.104076$
$x_{11} = 0.110778$
$x_{12} = 0.116787$
$x_{13} = 0.122097$
$x_{14} = 0.126706$
$x_{15} = 0.130611$
$x_{16} = 0.133809$
$x_{17} = 0.136299$
$x_{18} = 0.138078$
$x_{19} = 0.139146$

$x_{20} = 0.139502$
$x_{21} = 0.139146$
$x_{22} = 0.138078$
$x_{23} = 0.136299$
$x_{24} = 0.133809$
$x_{25} = 0.130611$
$x_{26} = 0.126706$
$x_{27} = 0.122097$
$x_{28} = 0.116787$
$x_{29} = 0.110778$
$x_{30} = 0.104076$
$x_{31} = 0.096683$
$x_{32} = 0.088605$
$x_{33} = 0.079847$
$x_{34} = 0.070414$
$x_{35} = 0.060311$
$x_{36} = 0.049546$
$x_{37} = 0.038125$
$x_{38} = 0.026055$
$x_{39} = 0.013344$

Para $n=80$

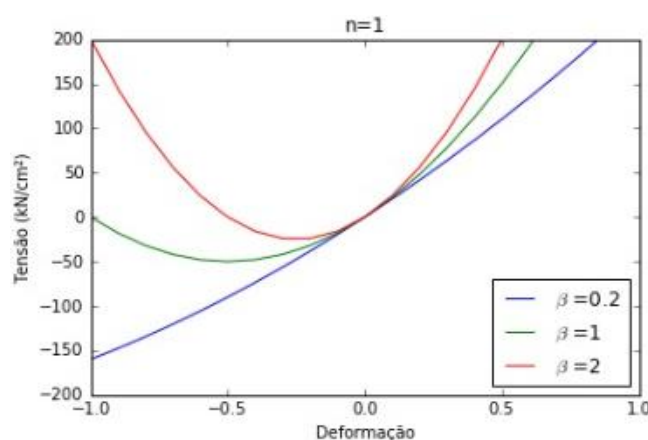
n = 80
x1 = 0.006751
x2 = 0.013344
x3 = 0.019779
x4 = 0.026054
x5 = 0.032170
x6 = 0.038124
x7 = 0.043915
x8 = 0.049544
x9 = 0.055009
x10 = 0.060309
x11 = 0.065443
x12 = 0.070411
x13 = 0.075211
x14 = 0.079843
x15 = 0.084307
x16 = 0.088601
x17 = 0.092726
x18 = 0.096679
x19 = 0.100461
x20 = 0.104071
x21 = 0.107509
x22 = 0.110774
x23 = 0.113865
x24 = 0.116782
x25 = 0.119524
x26 = 0.122092
x27 = 0.124484
x28 = 0.126700
x29 = 0.128741
x30 = 0.130605
x31 = 0.132293
x32 = 0.133803
x33 = 0.135137
x34 = 0.136293
x35 = 0.137271
x36 = 0.138072
x37 = 0.138695
x38 = 0.139140
x39 = 0.139407

x40 = 0.139496
x41 = 0.139407
x42 = 0.139140
x43 = 0.138695
x44 = 0.138072
x45 = 0.137271
x46 = 0.136293
x47 = 0.135137
x48 = 0.133803
x49 = 0.132293
x50 = 0.130605
x51 = 0.128741
x52 = 0.126700
x53 = 0.124484
x54 = 0.122092
x55 = 0.119524
x56 = 0.116782
x57 = 0.113865
x58 = 0.110774
x59 = 0.107509
x60 = 0.104071
x61 = 0.100461
x62 = 0.096679
x63 = 0.092726
x64 = 0.088601
x65 = 0.084307
x66 = 0.079843
x67 = 0.075211
x68 = 0.070411
x69 = 0.065443
x70 = 0.060309
x71 = 0.055009
x72 = 0.049544
x73 = 0.043915
x74 = 0.038124
x75 = 0.032170
x76 = 0.026054
x77 = 0.019779
x78 = 0.013344
x79 = 0.006751

5. Conclusões

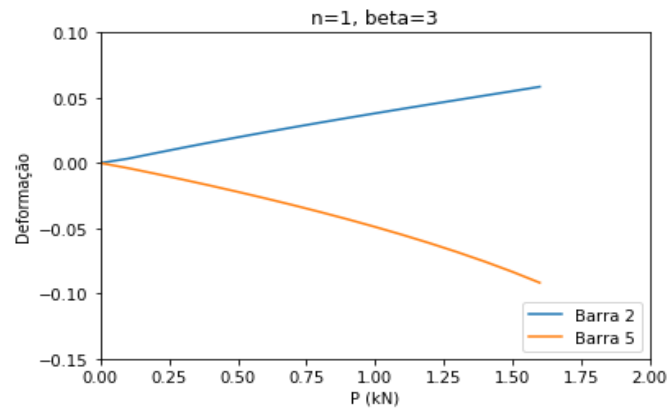
O exercício programável foi importante para a dupla ver uma das aplicações do cálculo numérico, seja o método de Newton ou do escalonamento de matrizes. Por meio da ferramenta Python foi possível obtermos a solução de diferentes estruturas de barras, com seus respectivos deslocamentos, tensões, reações e normais. Foi verificado que o problema é solucionável através de matrizes, aplicando-se o método de Newton.

No problema 1, como mostra o gráfico abaixo, já enunciado relatório do exercício computacional, verificamos na barra da estrutura, a variação da tensão com a deformação.



Para a dupla, que está cursando a Engenharia Civil, o exercício foi de grande interesse e aplicabilidade, visto que constantemente calculamos todas as variáveis de uma estrutura, afim de obtermos o equilíbrio estável de uma edificação, com um coeficiente de segurança. Desta forma, vimos que estruturas que aparentam ter alta complexidade de resolução, podem ser sistematizadas e solucionadas através de algoritmos estudados por exemplo no cálculo numérico. Vale citar que na matéria de resistência dos materiais, por exemplo, o método de Newton será utilizado para analisar o equilíbrio de uma estrutura (problema de Euler) em que a solução será aproximada através de iterações a partir de um valor próximo da solução real.

No problema 2, em uma estrutura de maior complexidade em comparação com a estrutura do problema 1, foi verificada a variação da deformação em função de um carregamento, como mostra o gráfico abaixo, bem como a variação da tensão em função do carregamento. Novamente, um problema que não é facilmente mensurável, através de algoritmos de aproximações, pode-se obter a relação entre tais parâmetros e solicitações.



Além disso, foi obtido os valores em que o gradiente de uma função se anula, bem como as raízes de uma função obtidas pelo método de Newton, iterando-se a partir de um valor inicial. Foi solucionado também um sistema na ferramenta Python que recebe valores que determinam a dimensão da matriz quadrada bem como os elementos da matriz. Sistemas com a matriz quadrada de dimensão 79, puderam ser solucionados através dos algoritmos montados no exercício. Através deles, analisamos como são calculadas soluções de um sistema linear ou não, com precisão determinada.